

生体組織の非線形光学効果を 用いたコラーゲン配向測定

阪大院・基礎工、奈良医大*)

安井武史、佐々木邦彦、荒木勉、東野義之*)

第30回レーザー顕微鏡研究会シンポジウム
『生体の無染色イメージング』

イントロ

コラーゲン

生体構造タンパク質：生体組織の骨組み

➡ 並び方（コラーゲン配向）が重要

➡ 生体組織の形態的及び機能的特性



コラーゲン
配向測定

従来法) 解剖学的手法@生検組織 (電顕観測、X線回折他)

➡ 非侵襲・非破壊・非接触・3次元空間分布

生体コラーゲンの非線形光学特性



第2高調波発生光
(生体SHG光)

・超短パルス光との非線形相互作用

・コラーゲンから特異的に発生

ref) S. Roth et al, *J. Chem. Phys.* **70**, pp.1637-1643 (1979).

・コラーゲンの密度や配向に敏感

👉 SHG偏光解析法

T. Yasui et al, *Appl. Opt.*, Vol. 43, pp. 2861-2867 (2004).

T. Yasui et al, *J. Biomed. Opt.*, Vol. 9, pp. 259-264 (2004).

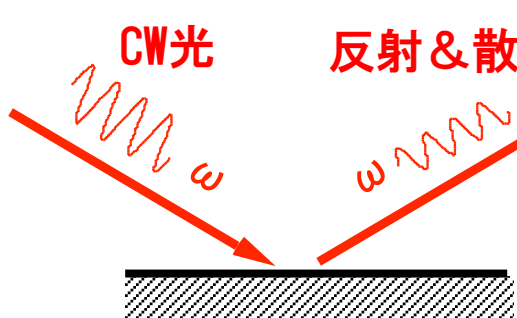
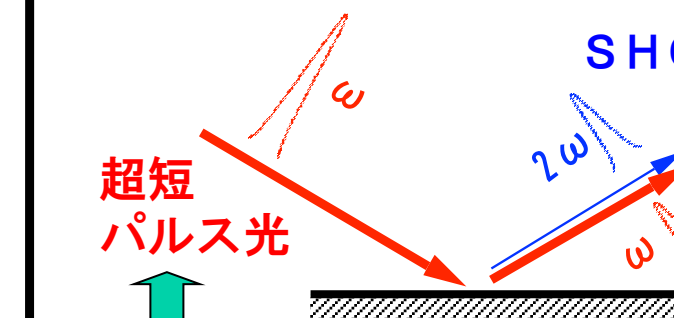


Present
talk

ヒト組織コラーゲン線維配向の3次元分布

@SHG偏光解析&SHGイメージング

SHG光とは？

	線形効果	非線形効果
音	 <p>音 (freq. = f)</p> <p>さわる</p>	 <p>f</p> <p>$2f$</p> <p>強く叩く！</p>
光	 <p>CW光</p> <p>反射&散乱光</p> <p>非中心対称物質</p>	 <p>超短 パルス光</p> <p>SHG光</p> <p>非中心対称物質</p> <p>例) 組織コラーゲン</p>

生体SHG光発生の原理

**SHG phase matching
is impossible in tissue!**

No-PM SHG condition

$$P_{2\omega} = 8 \left(\frac{\mu_0}{\epsilon_0} \right)^{\frac{3}{2}} \frac{\omega^2 d^2 \delta^2}{n^3 A} \frac{P_\omega^2}{\pi \delta / l_c} \sin^2(\pi \delta / l_c)$$

δ : 散乱光路長 = $1/\mu_s$ (μ_s 散乱係数) = 20~50 μm@tissue

l_c : コヒーレンス長 = $l_\omega / [2 * (n_{2\omega} - n_\omega)]$ = 5~13 μm@tissue

ω : 角周波数, A : 照射エリア

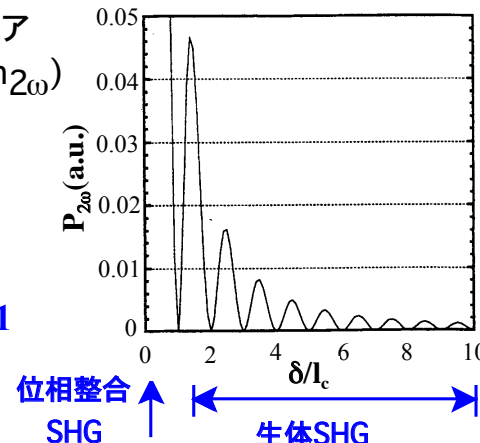
P : 入射パワー, $n = (n_\omega + n_{2\omega})$

d : 平均非線形光学定数

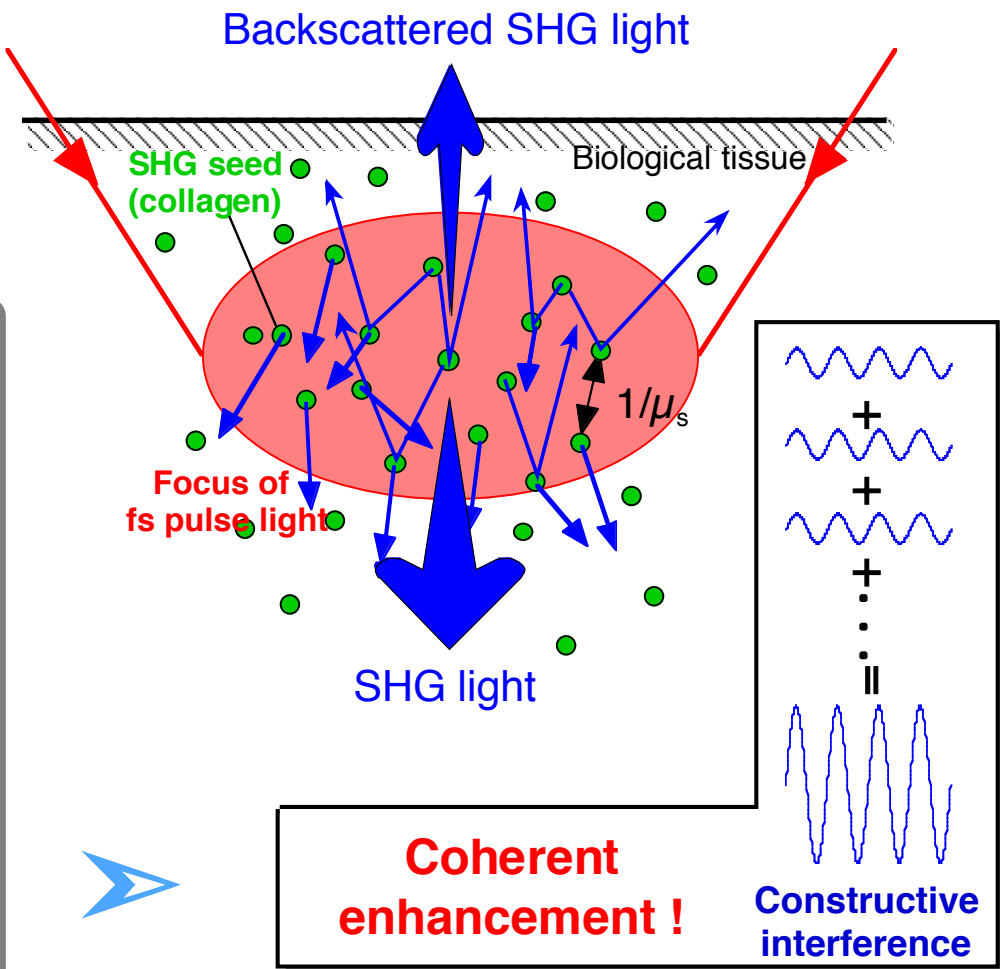
(1) $l_c > \delta$

(2) $\delta/l_c \neq 1, 2, \dots, m$

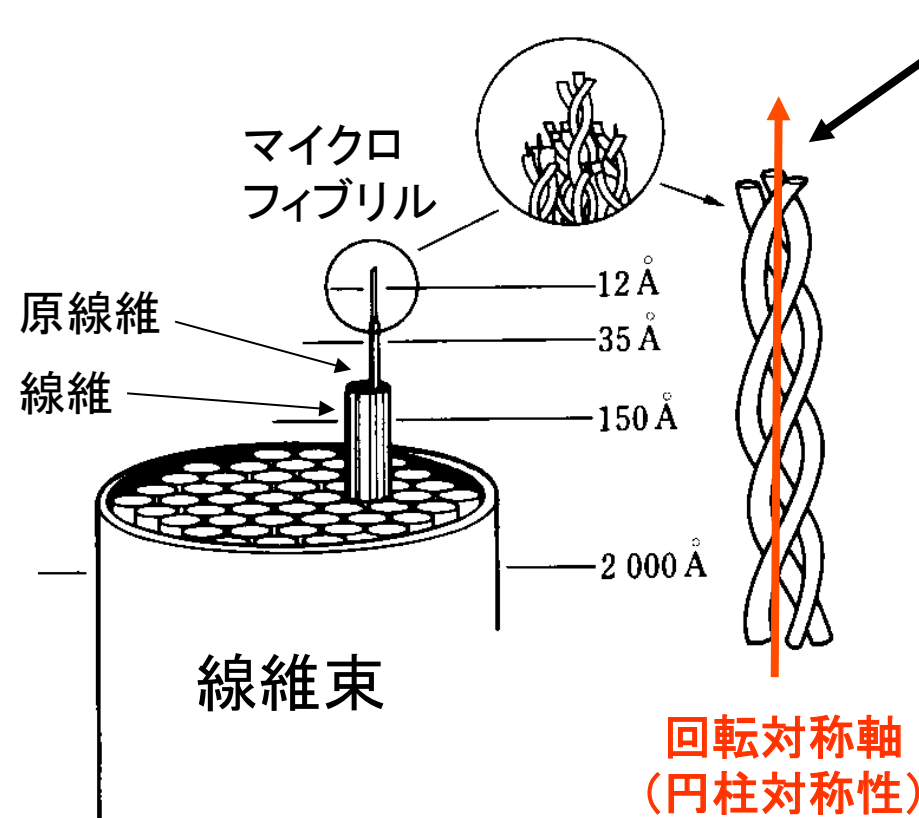
@ $\delta/l_c > 1$



Ref) B.M. Kim, Appl. Opt., Vol. 38, p.7145 (1999).



コラーゲン線維の組織構造



コラーゲン分子
(ポリペプチド3重らせん構造)

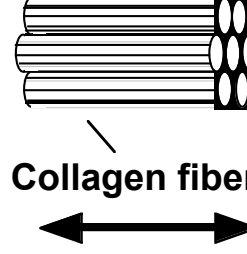
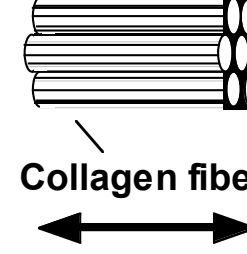
光波長オーダー

非中心対称性構造
(対称要素は回転軸のみ)

生体SHG光発生

規則的配向がSHG光を増強

入射光偏光とコラーゲン配向の関係

	Cross-sectional (Centrosymmetric)	Axial (Non-centrosymmetric)	
		Parallel	Perpendicular
Collagen orientation	 Collagen fiber 	 Collagen fiber 	 Collagen fiber 
Laser polarization	 		
SHG light	None	Strong	Weak

- ・SHG光はコラーゲン線維配向に敏感
- ・偏光解析が有効

SHG光偏光解析（理論値）

Ref) P. Stoller et al, J. Biomed. Opt., Vol. 7, pp. 205-214 (2002).

单一軸配向

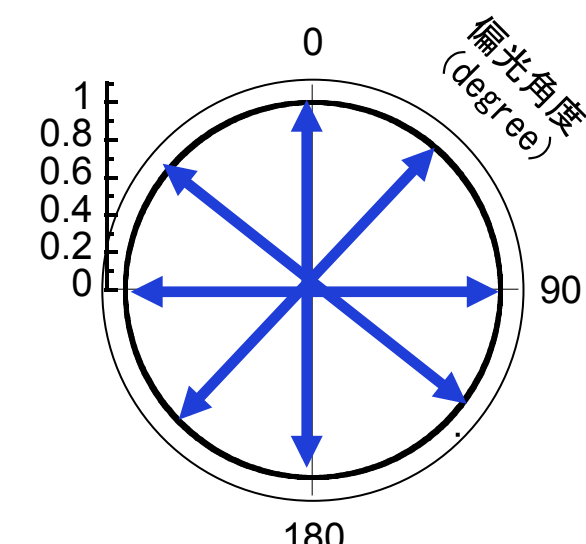
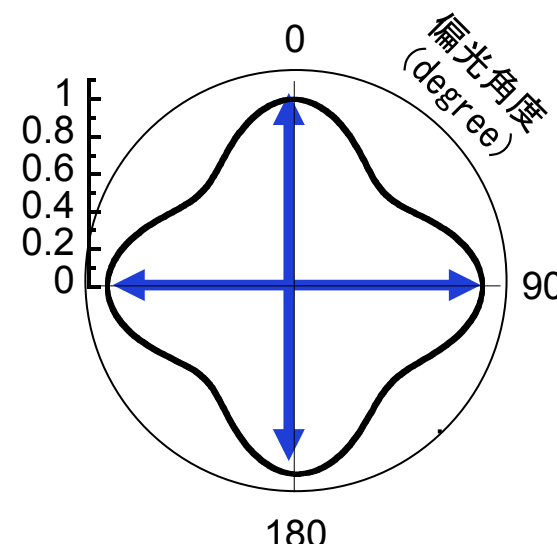
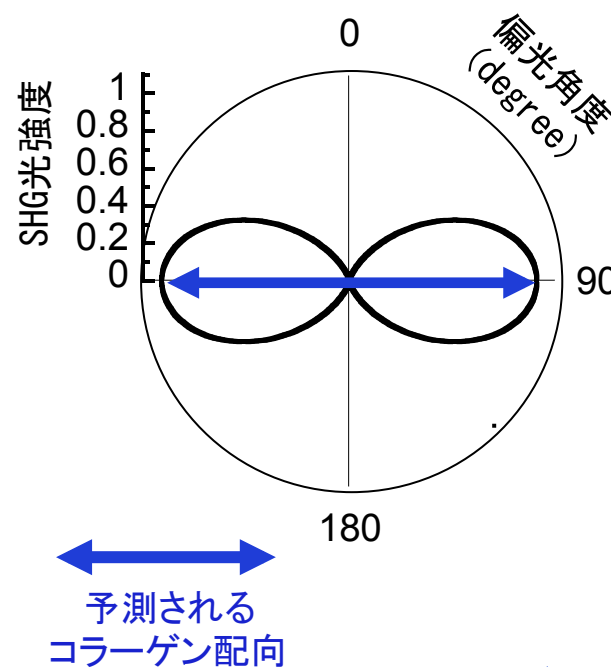


入射光スポット

直交2軸配向



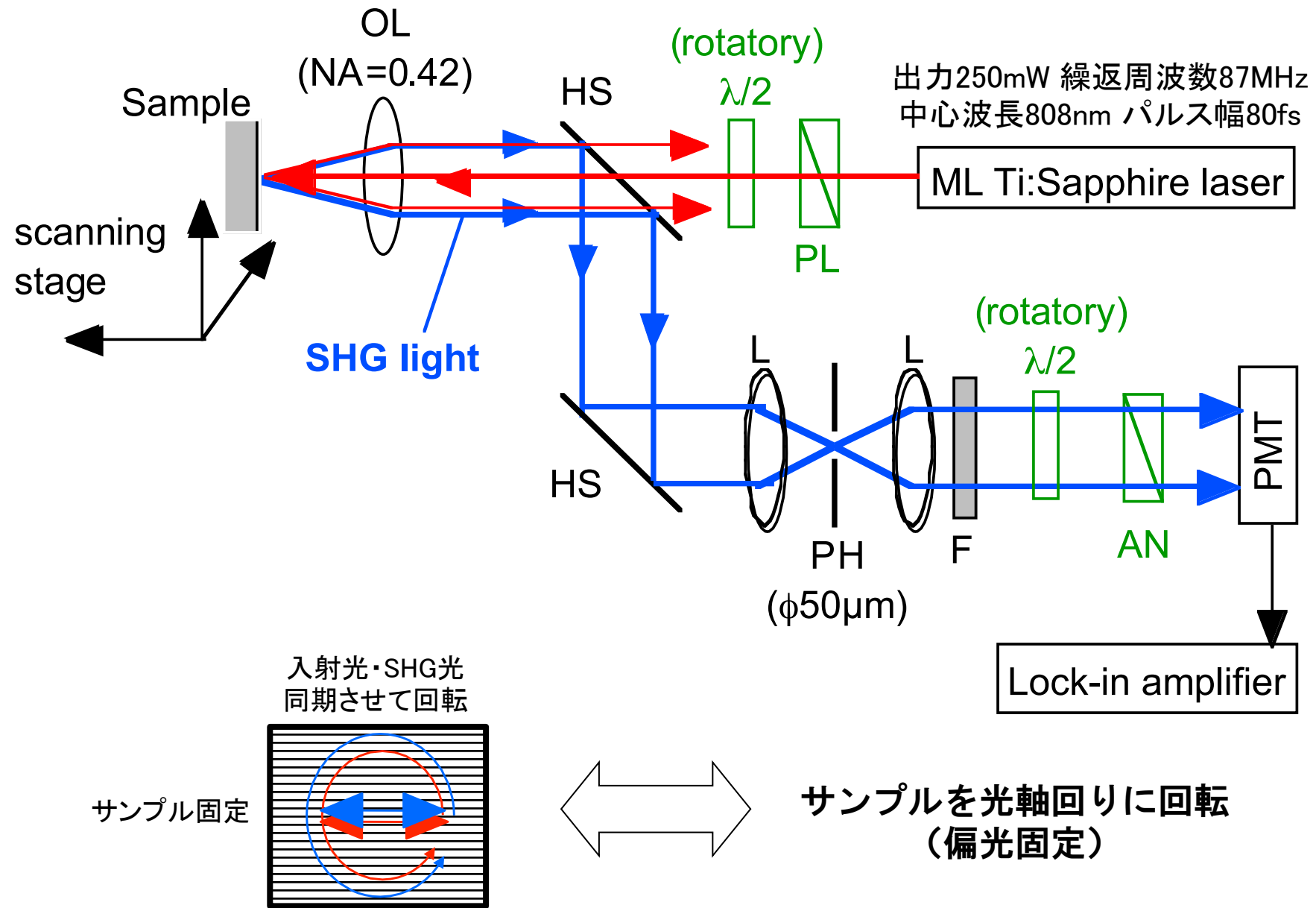
ランダム配向



SHG強度レーダーグラフ

(配向方位: 主軸角度、配向度: 形状)

実験装置(反射配置)



サンプル

(1) ヒトアキレス腱

76歳女性、厚さ約2mm

ホルマリン固定後、乾燥
線維と平行方向にスライス



(2) ヒト皮膚真皮（背中）

厚さ約1mm

ホルマリン固定後、乾燥
皮膚表面と平行方向スライス

アキレス腱



歯牙切片



皮膚真皮



距骨

(3) ヒト歯牙象牙質

20歳男性、厚さ約1mm

歯牙軸方向にスライス

(4) ヒト距骨

厚さ約1mmにスライス

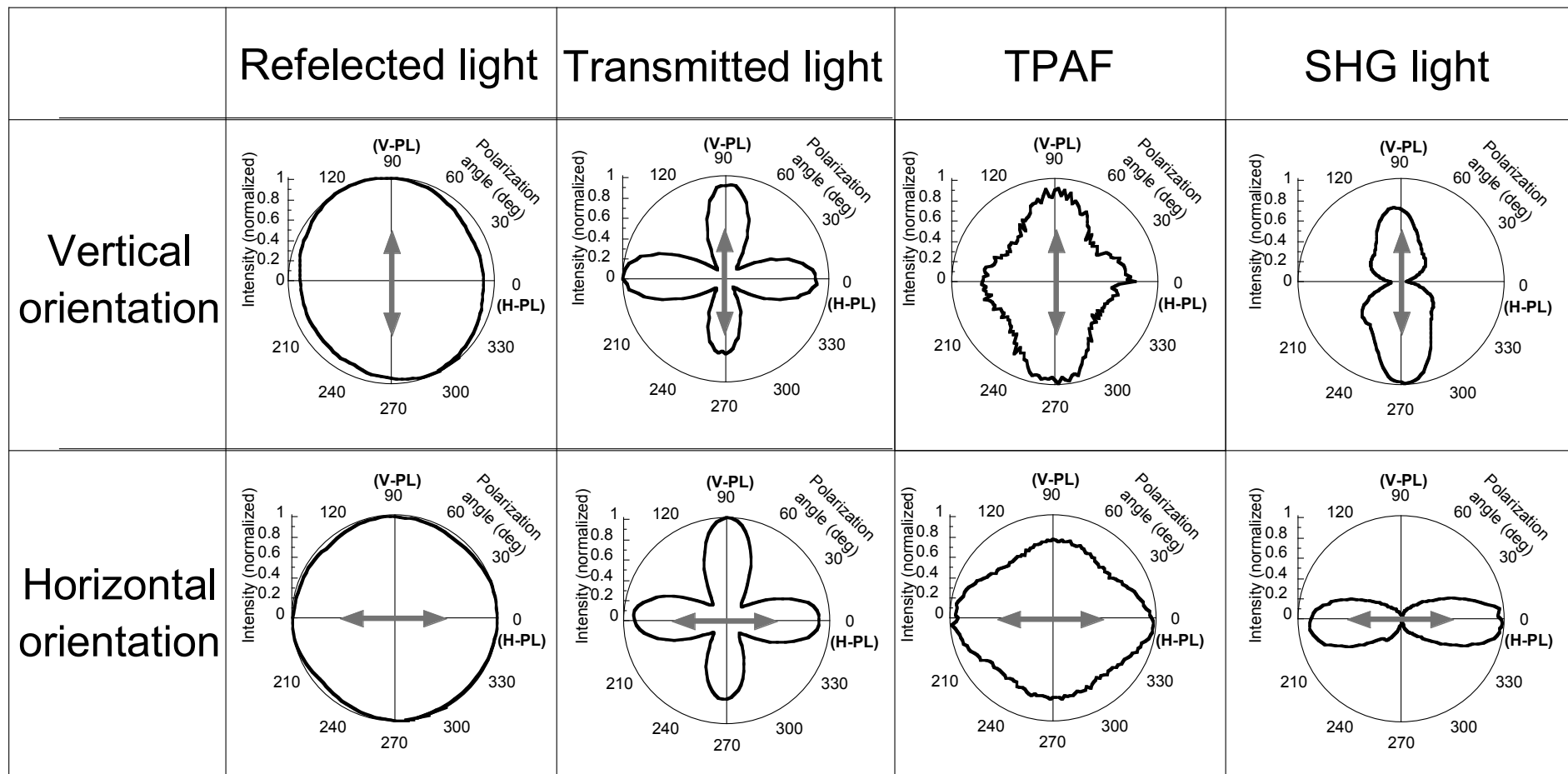
皮膚真皮

(5) コラーゲンスポンジ (牛アキレス腱)

組織培養用コラーゲン

SHG偏光解析vs他の偏光解析

@ヒトアキレス腱(単一軸コラーゲン配向)



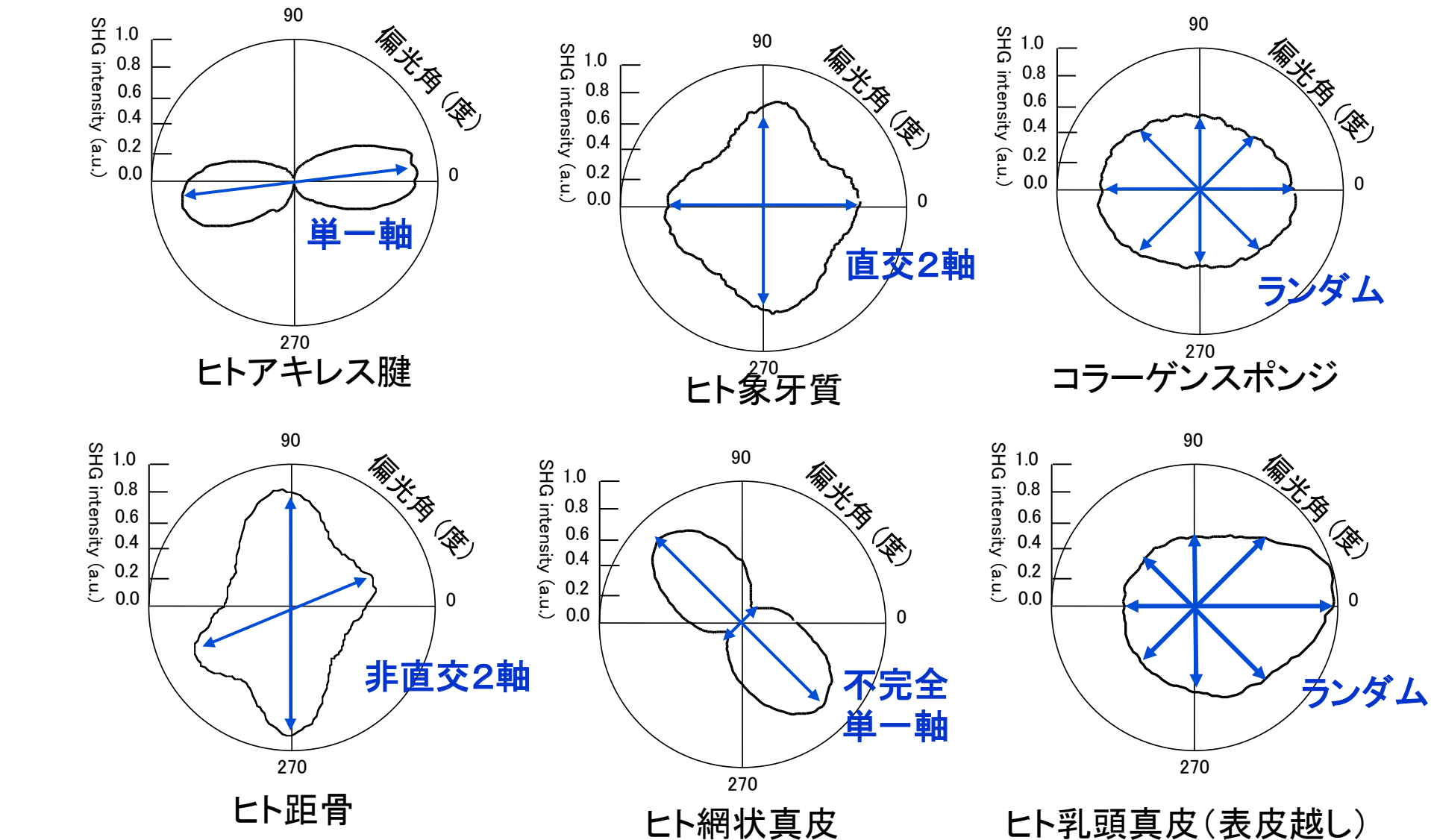
複屈折
異方性吸収

線形散乱特性

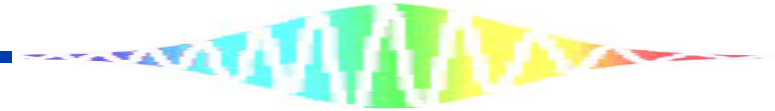
他のTPAFの
分離

鋭い偏光依存性

SHGレーダーグラフ



コラーゲン配向の組織依存性



コラーゲン配向の 面内分布測定

配向評価パラメーター

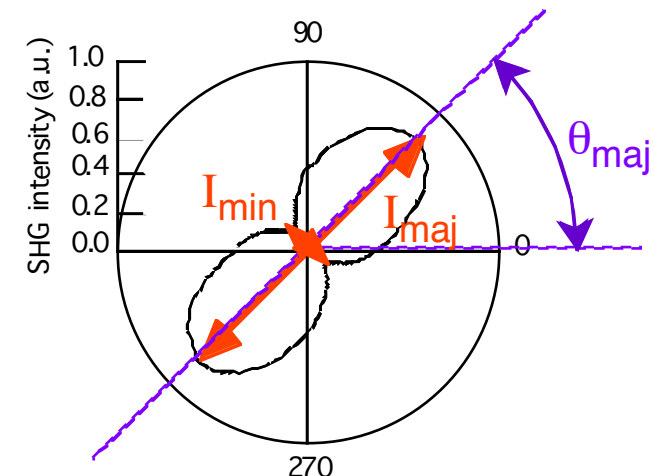
(1) 配向方位@主軸方位角: θ_{maj}

(2) 配向度@ SHG偏光異方性: PA

$$PA = \frac{|I_{maj} - I_{min}|}{I_{maj} + I_{min}}$$

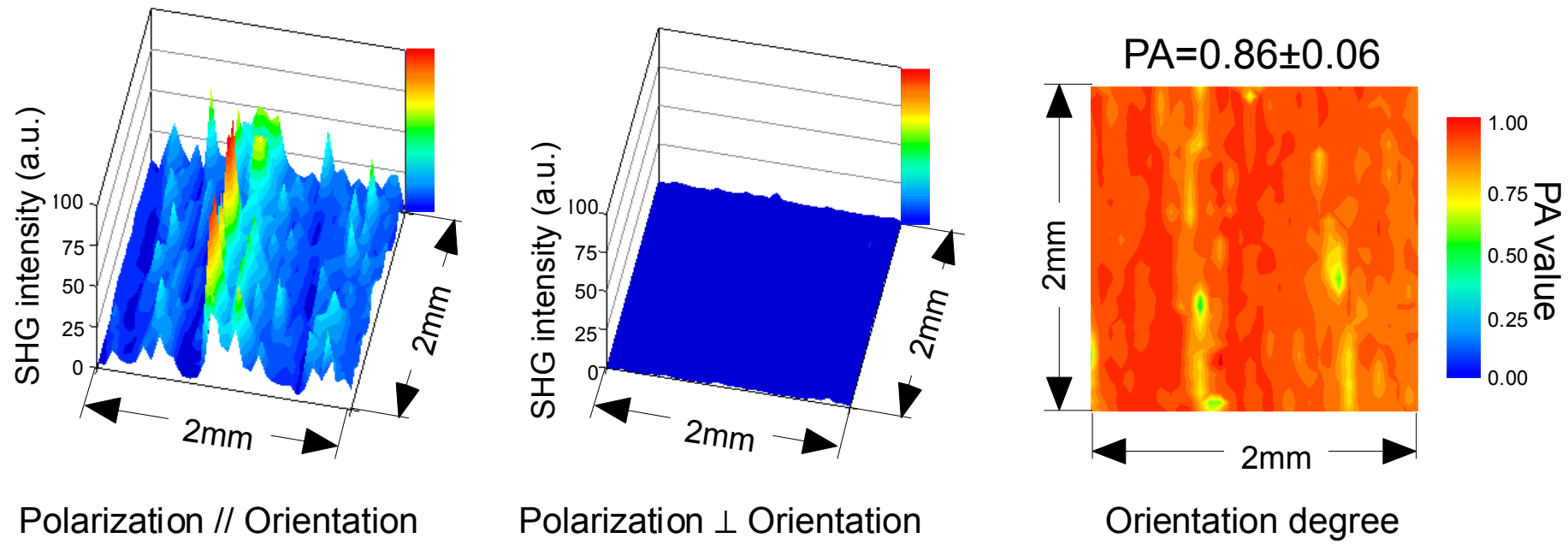
PA=1: 単一配向(8の字)

PA=0 : 完全ランダム配向(円形)
直交2軸配向(ひし形)



SHGレーダーグラフ

Polarization-resolved SHG imaging @ human Achilles tendon

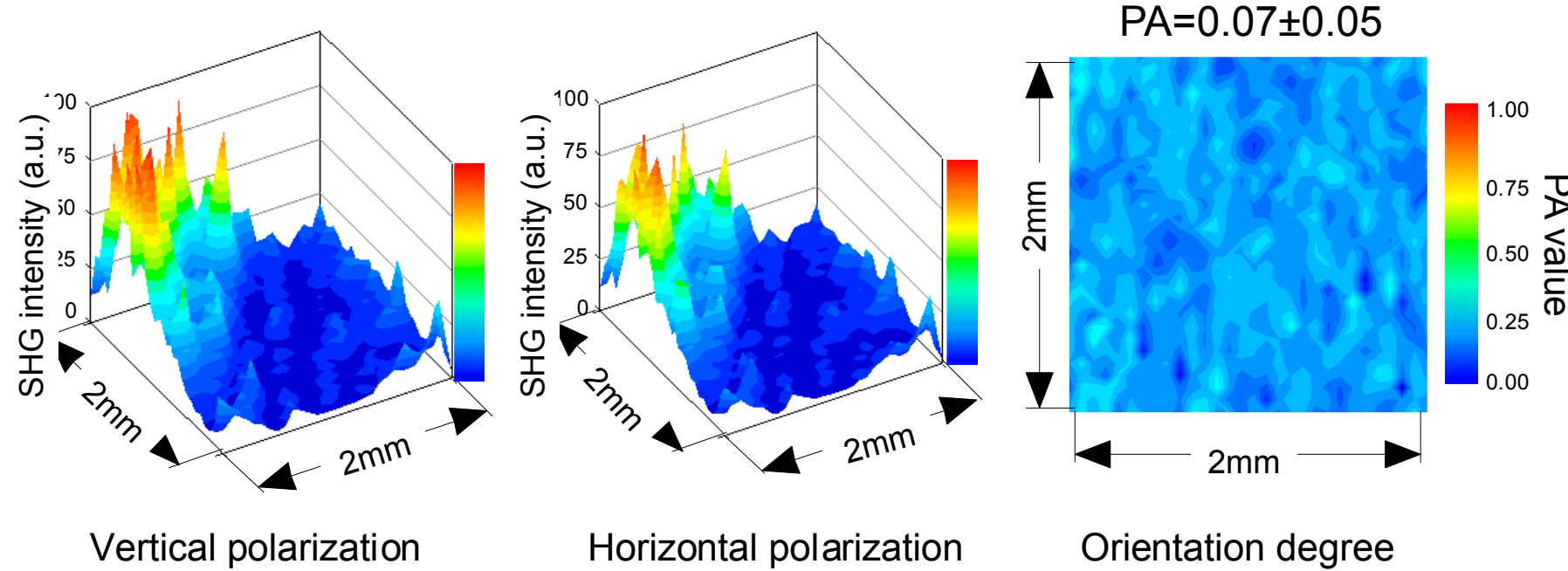


Uniform distribution of high PA values



Collagen orientation arranged with high organization

Polarization-resolved SHG imaging @ collagen sponge

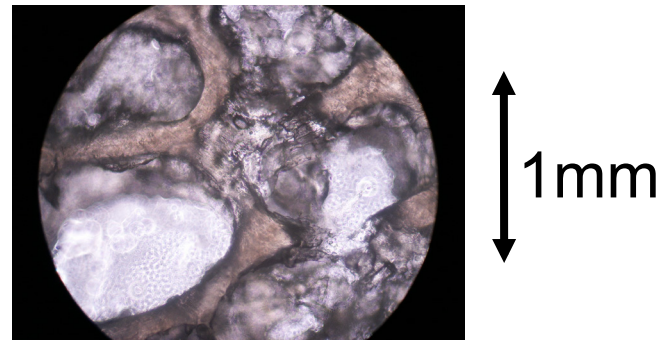
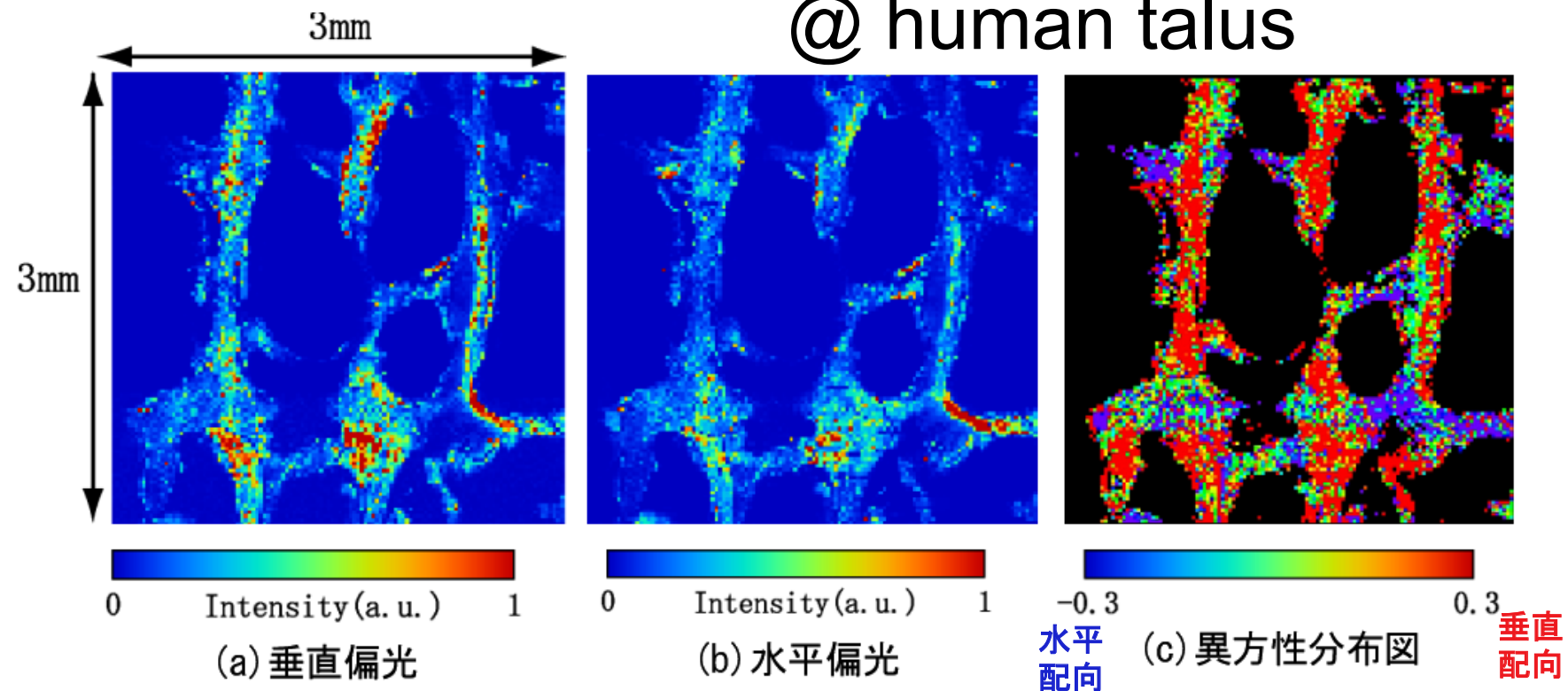


Uniform distribution of low PA values



Collagen orientation distributed equally in all directions

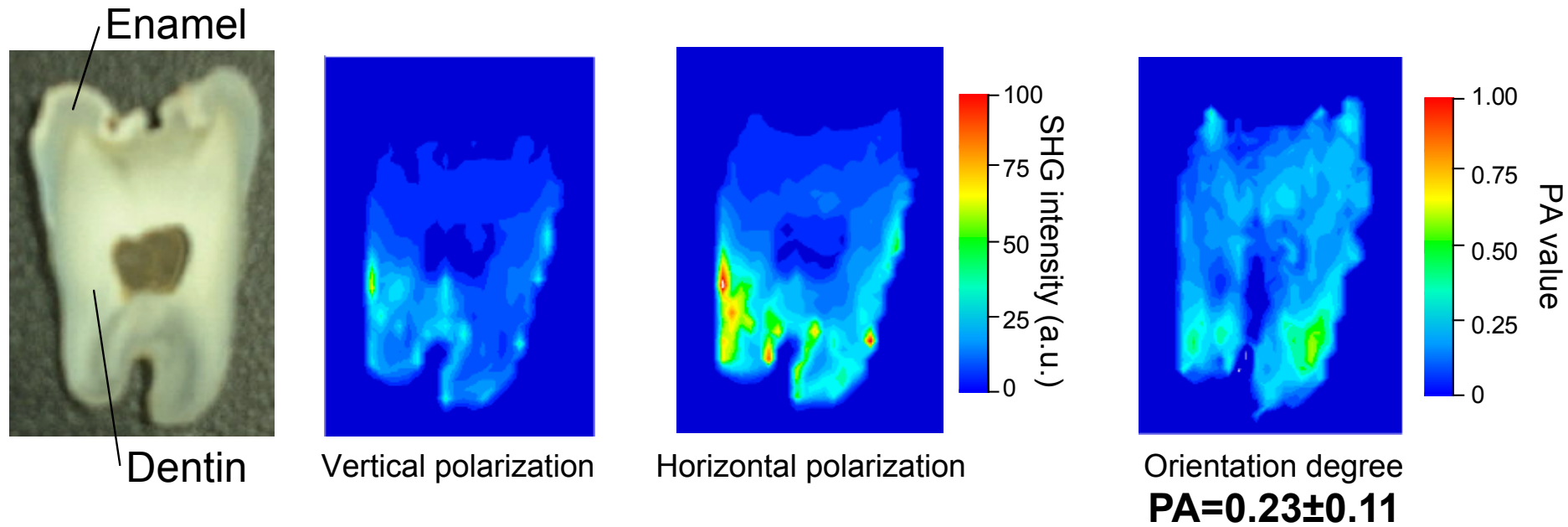
Polarization-resolved SHG imaging @ human talus



光顕像

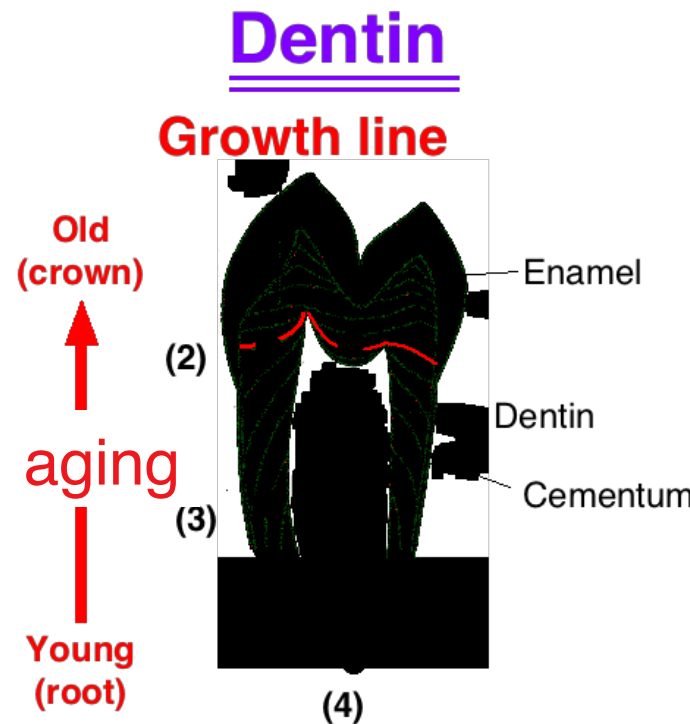
骨陵に沿った
コラーゲン配向

Polarization-resolved SHG imaging @ human dentin



コラーゲン配向の部位依存性

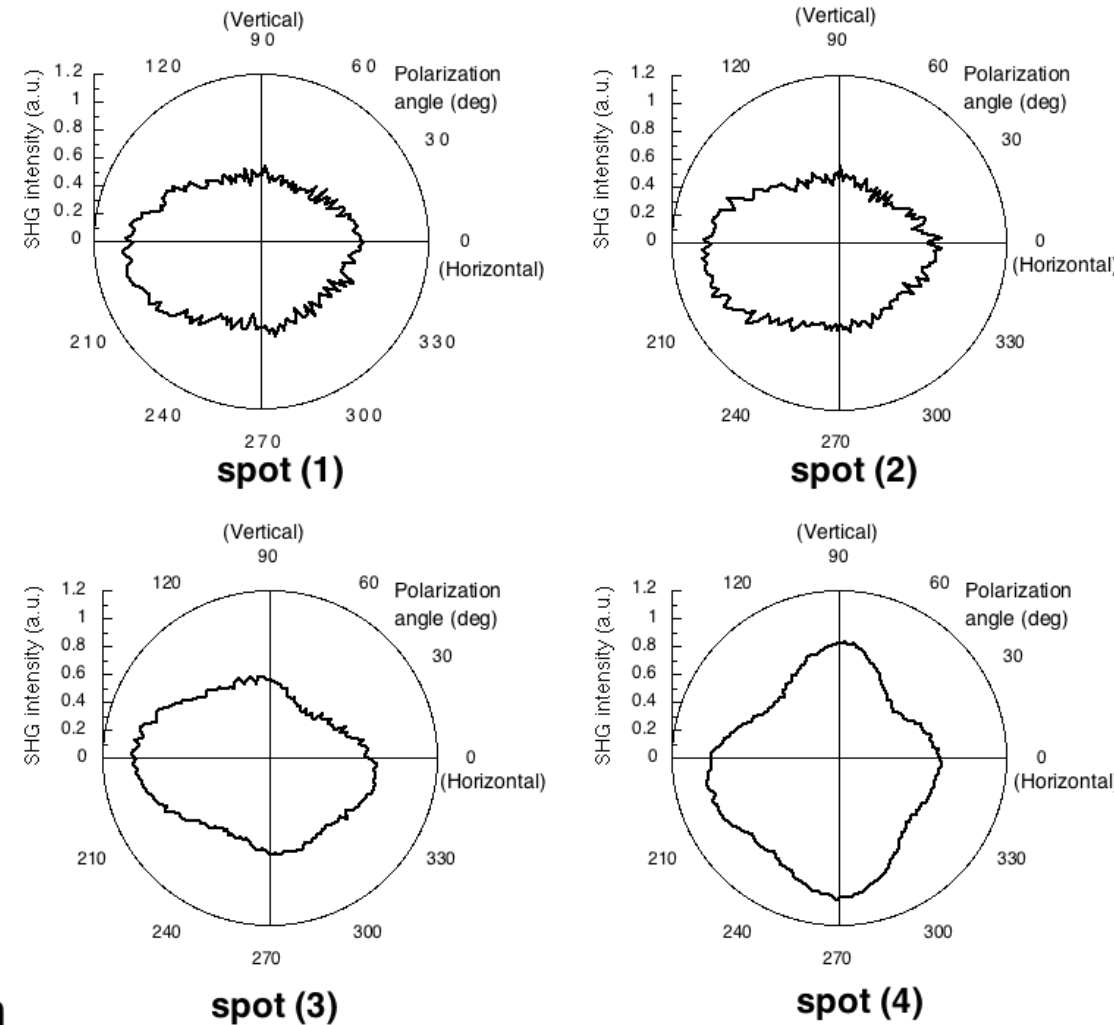
2D SHG polarimetry @ human dentin



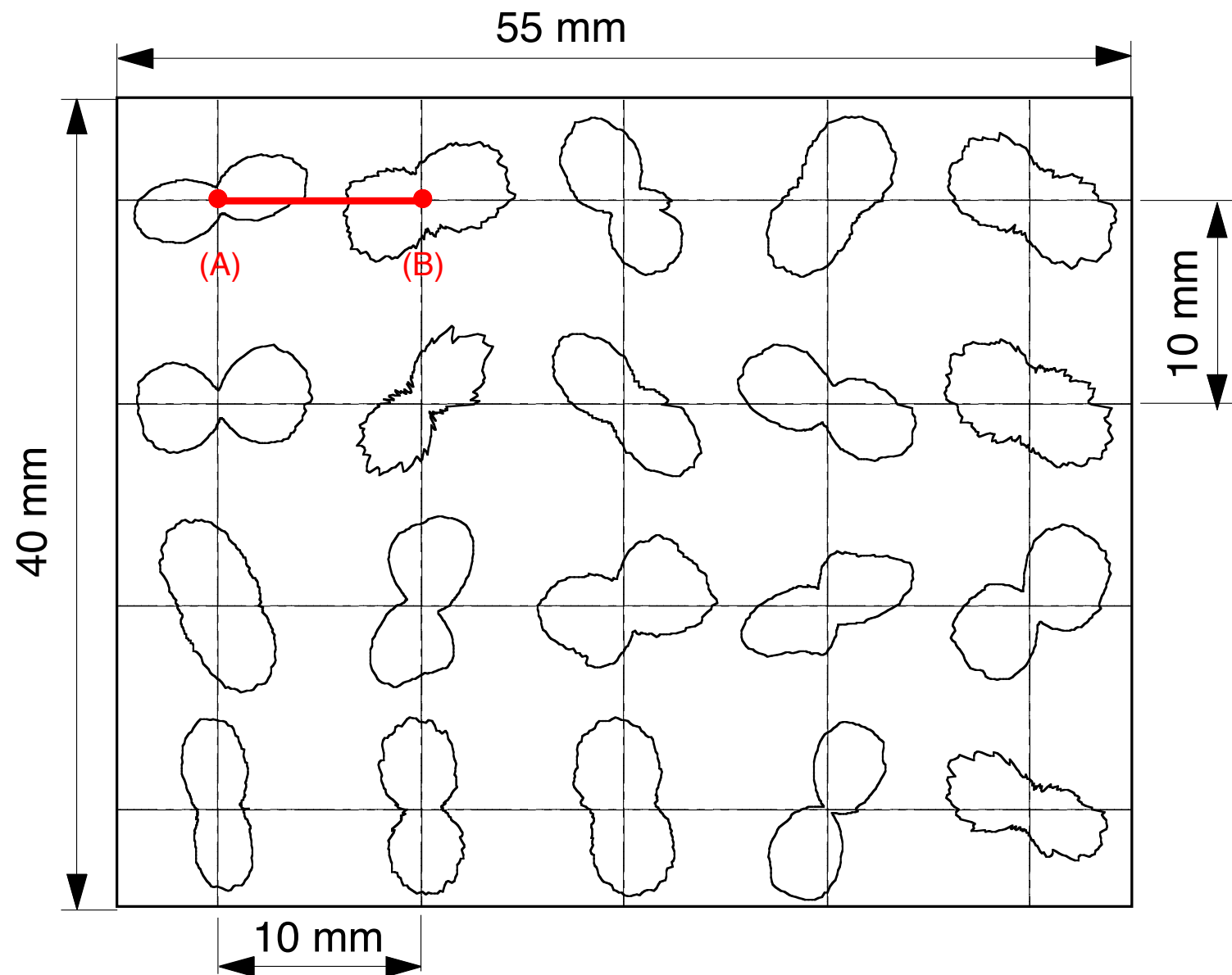
Regional dependence



Change of collagen structure during growth

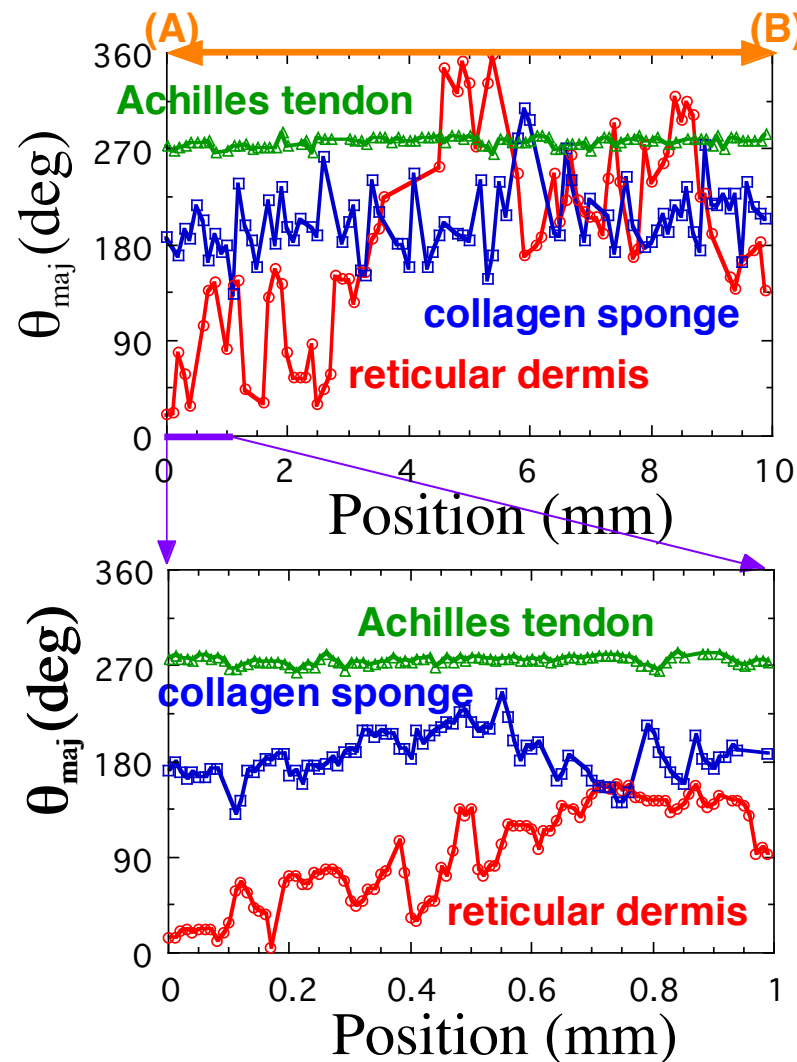


ヒト網状真皮の面内配向分布@離散的マクロ

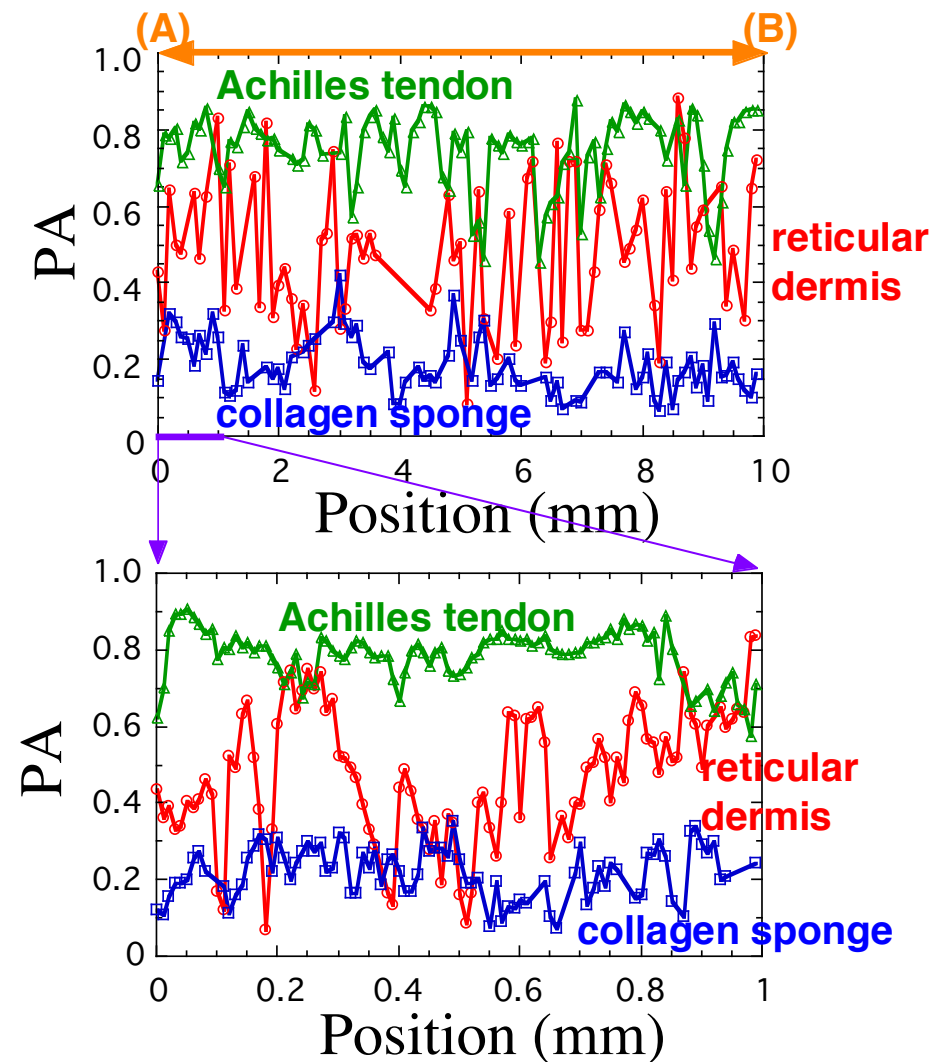


ヒト網状真皮の配向分布@連続的ミクロ

配向方位 : θ_{maj}

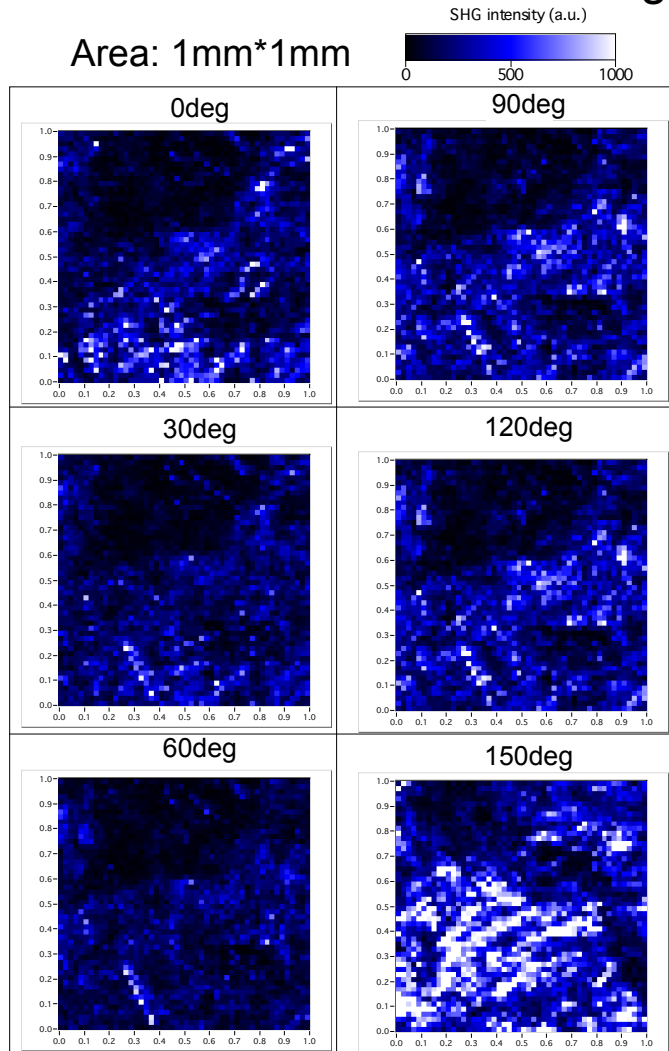


配向度 : PA

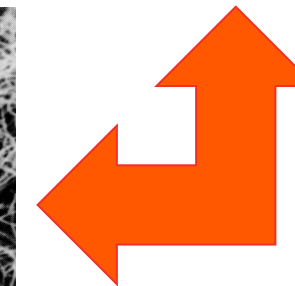
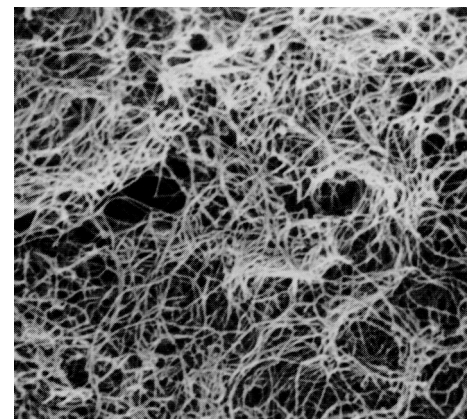
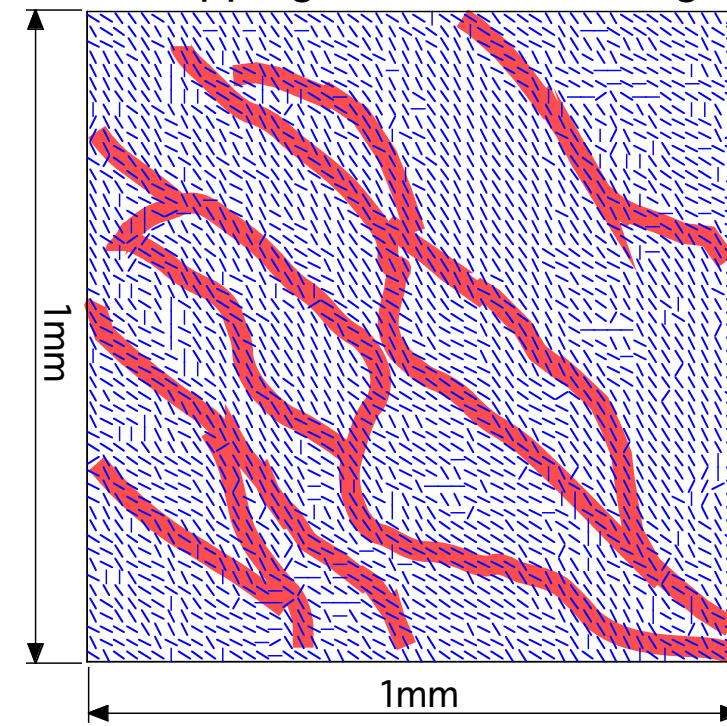


Microscopic 2D distribution of collagen orientation angle @reticular dermis

Polarization-resolved SHG image

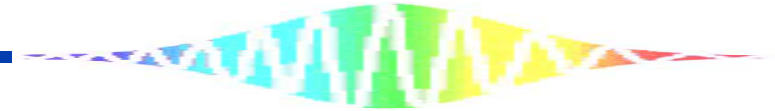


2D mapping of orientation angle



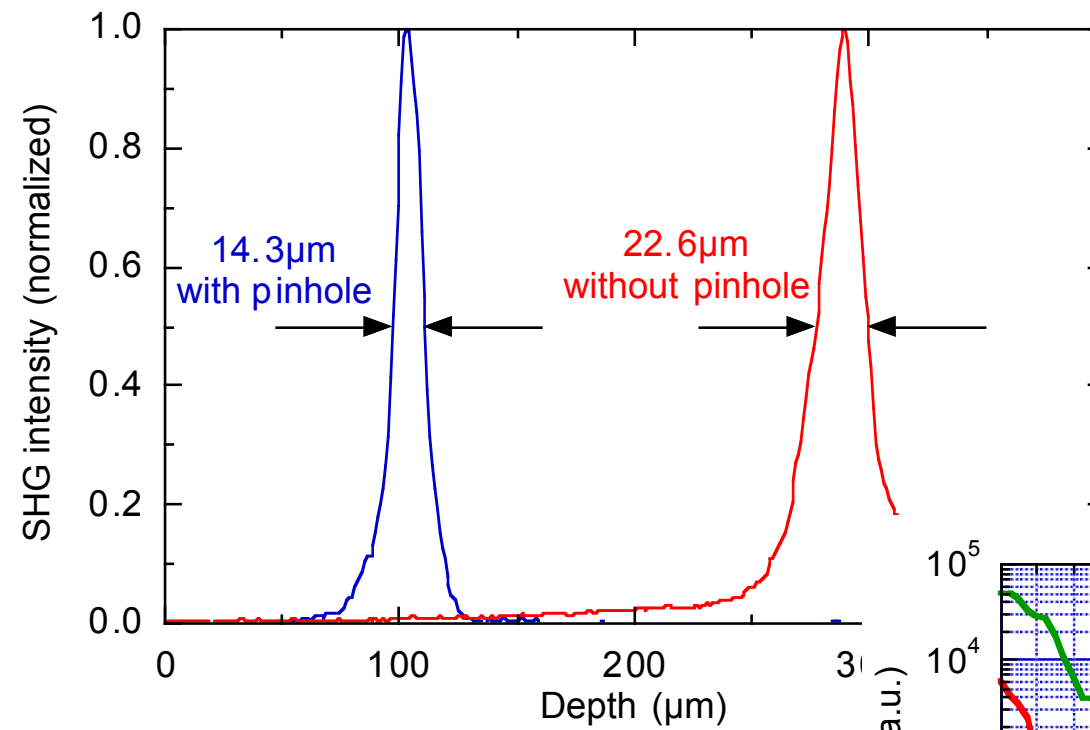
Entangled structure
of collagen fiber

Microphotograph of bovine dermis



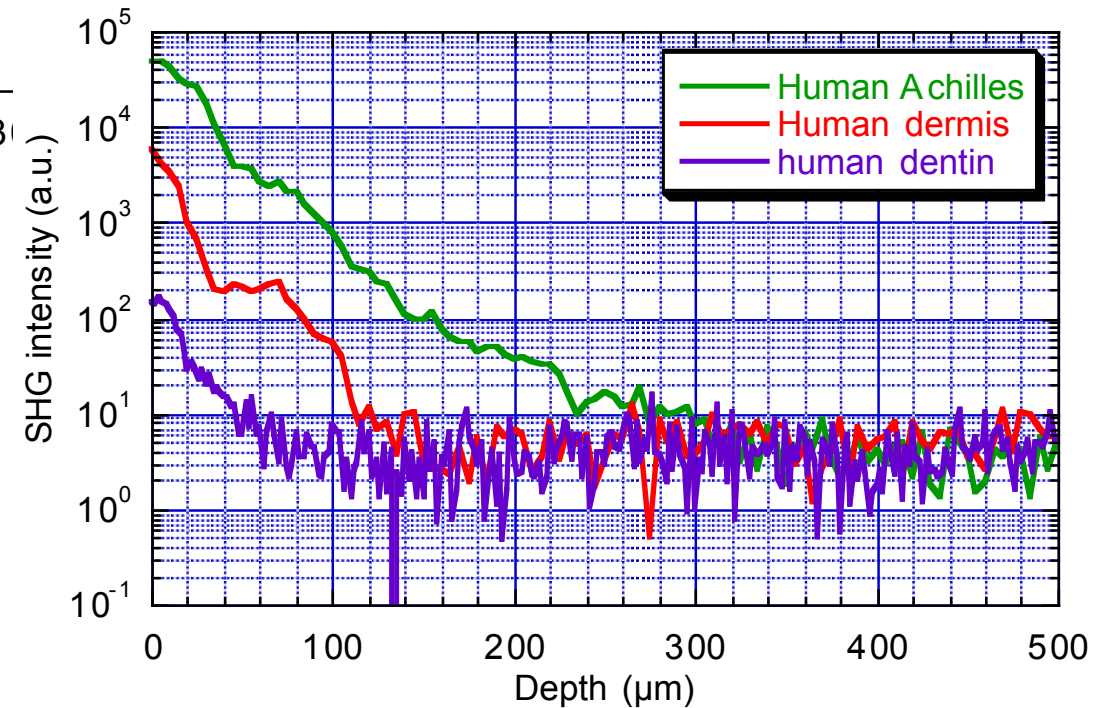
コラーゲン配向の 断層分布測定

基本特性評価(1)

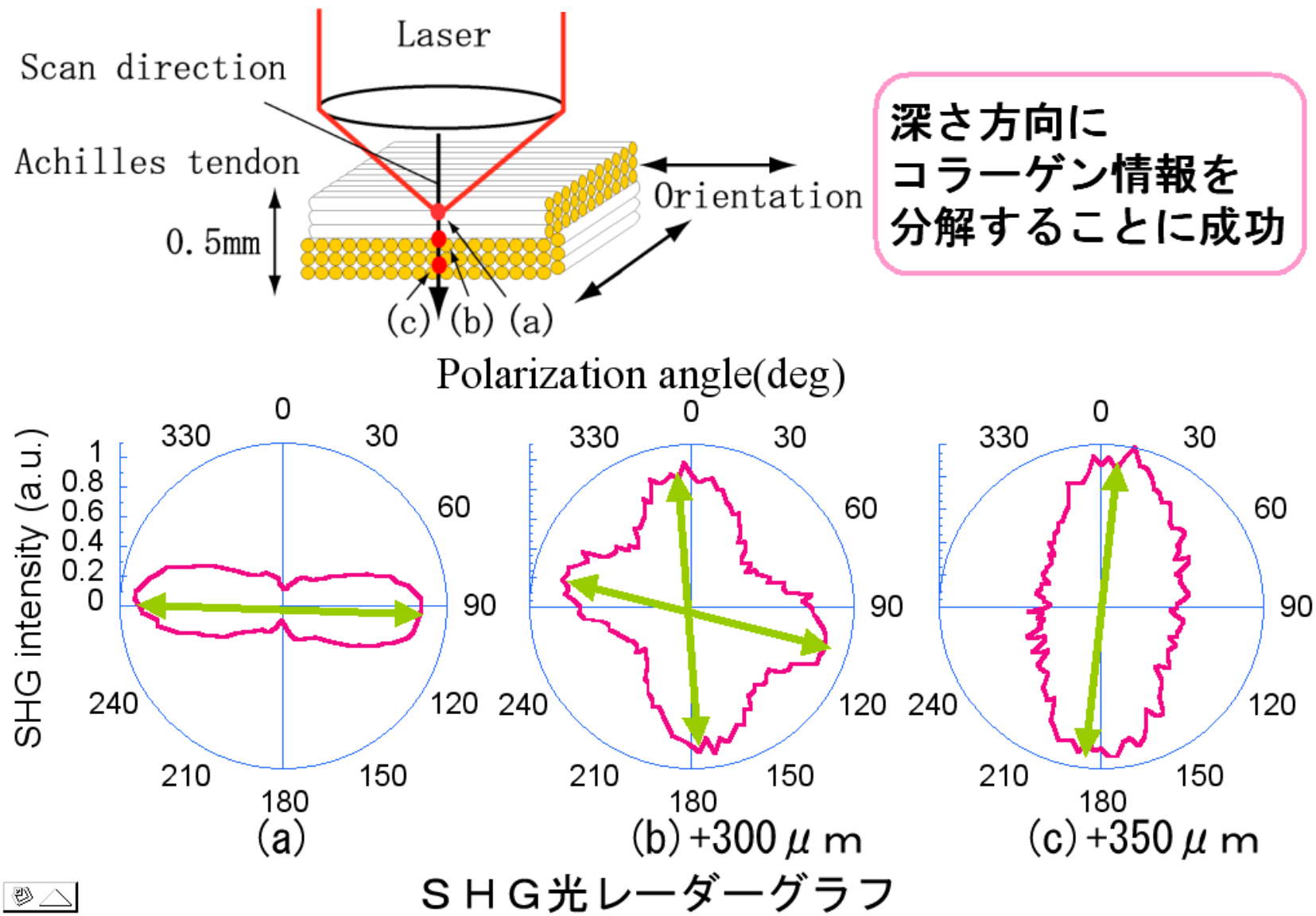


深さ分解能
(薄アキレス腱)

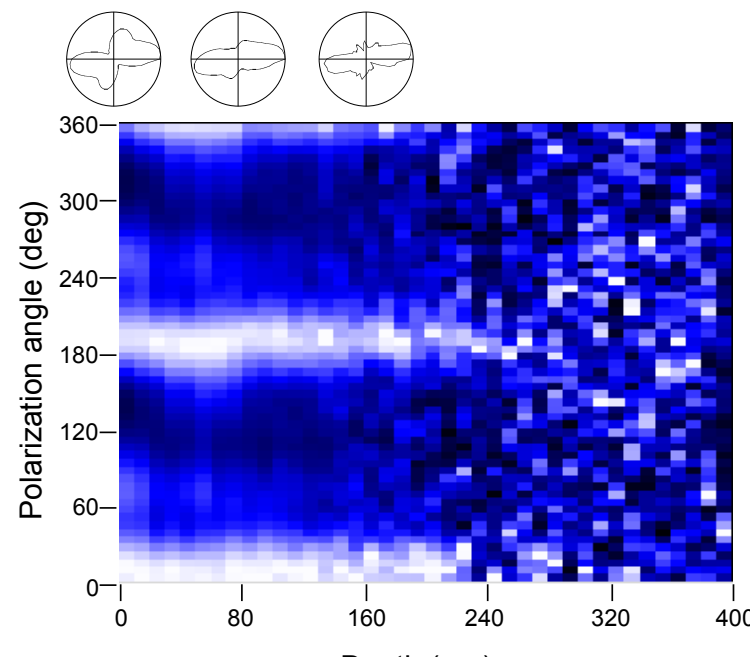
ダイナミックレンジ



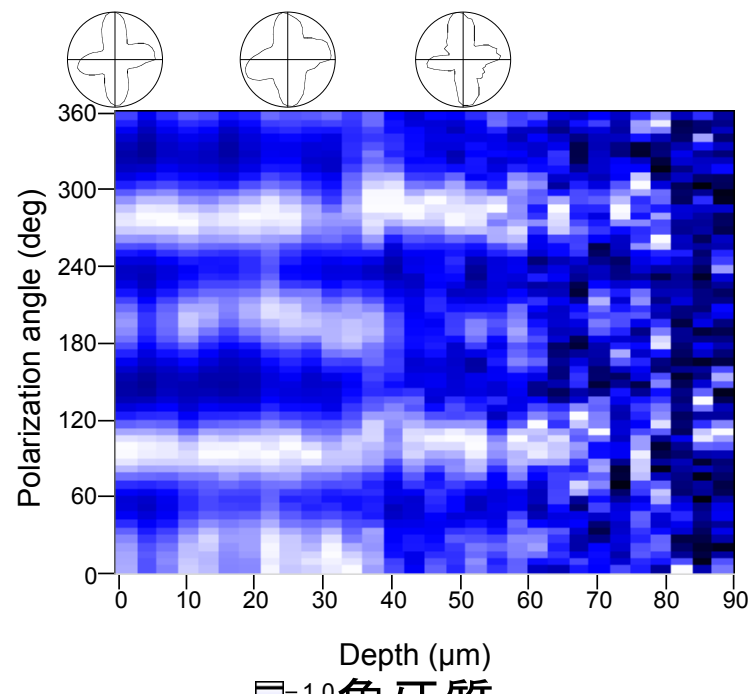
基本特性評価(2)



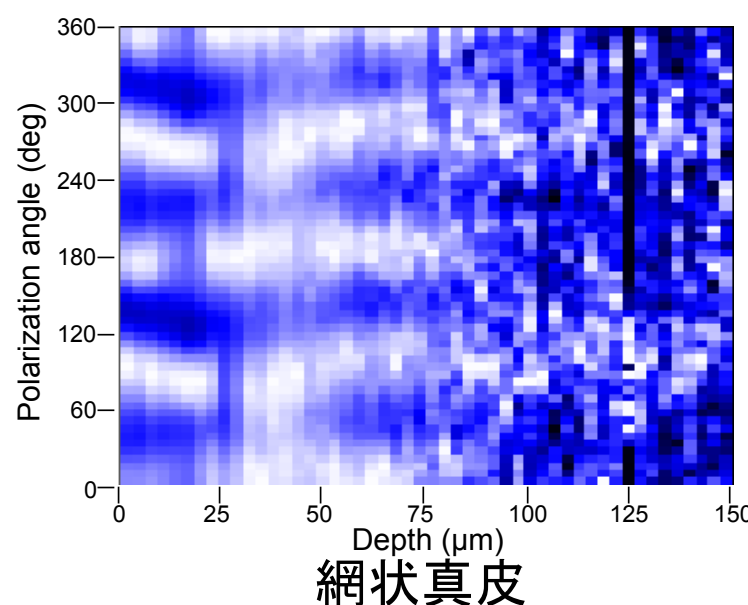
深さ分解SHG偏光解析



アキレス腱

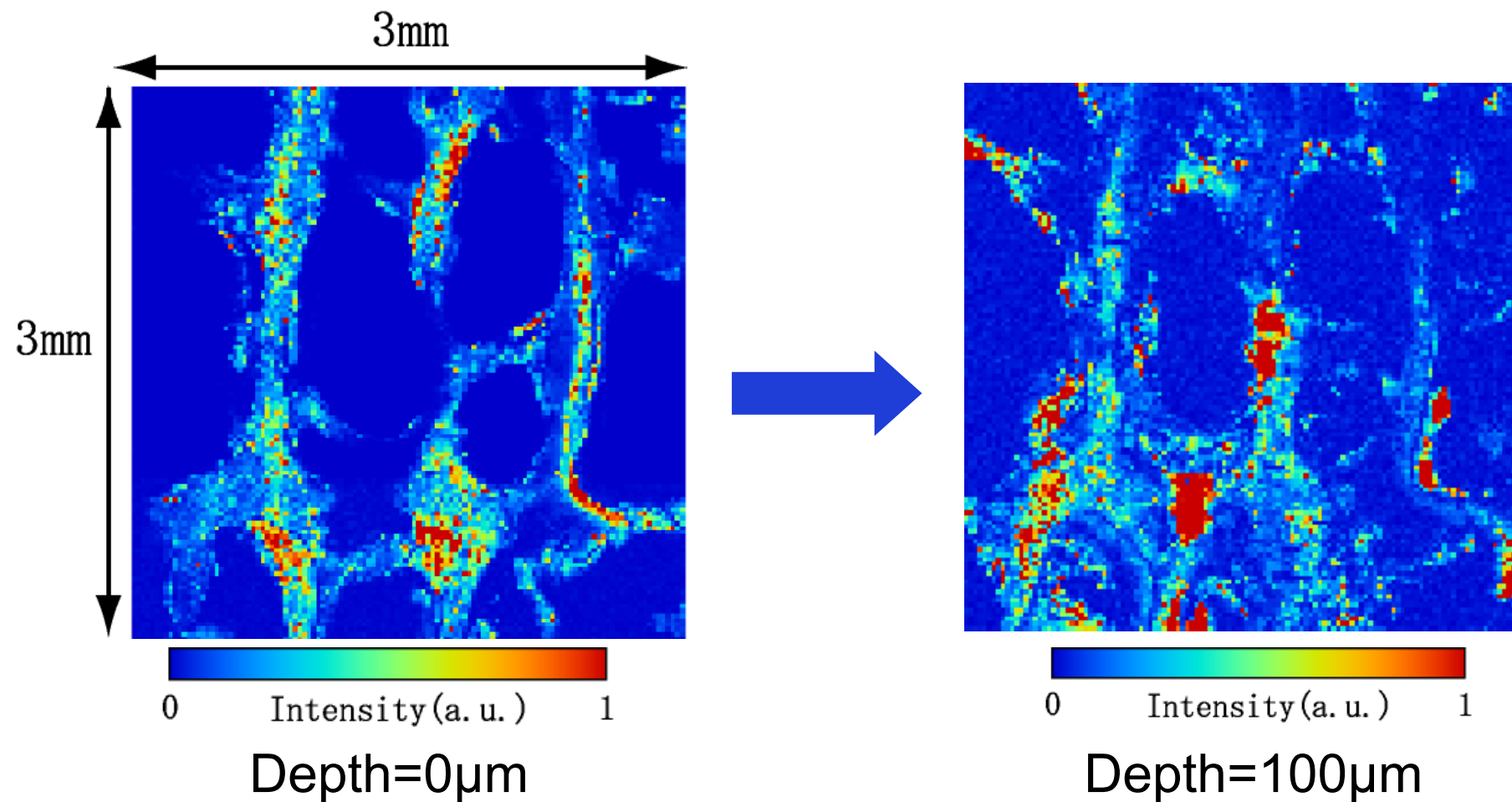


象牙質



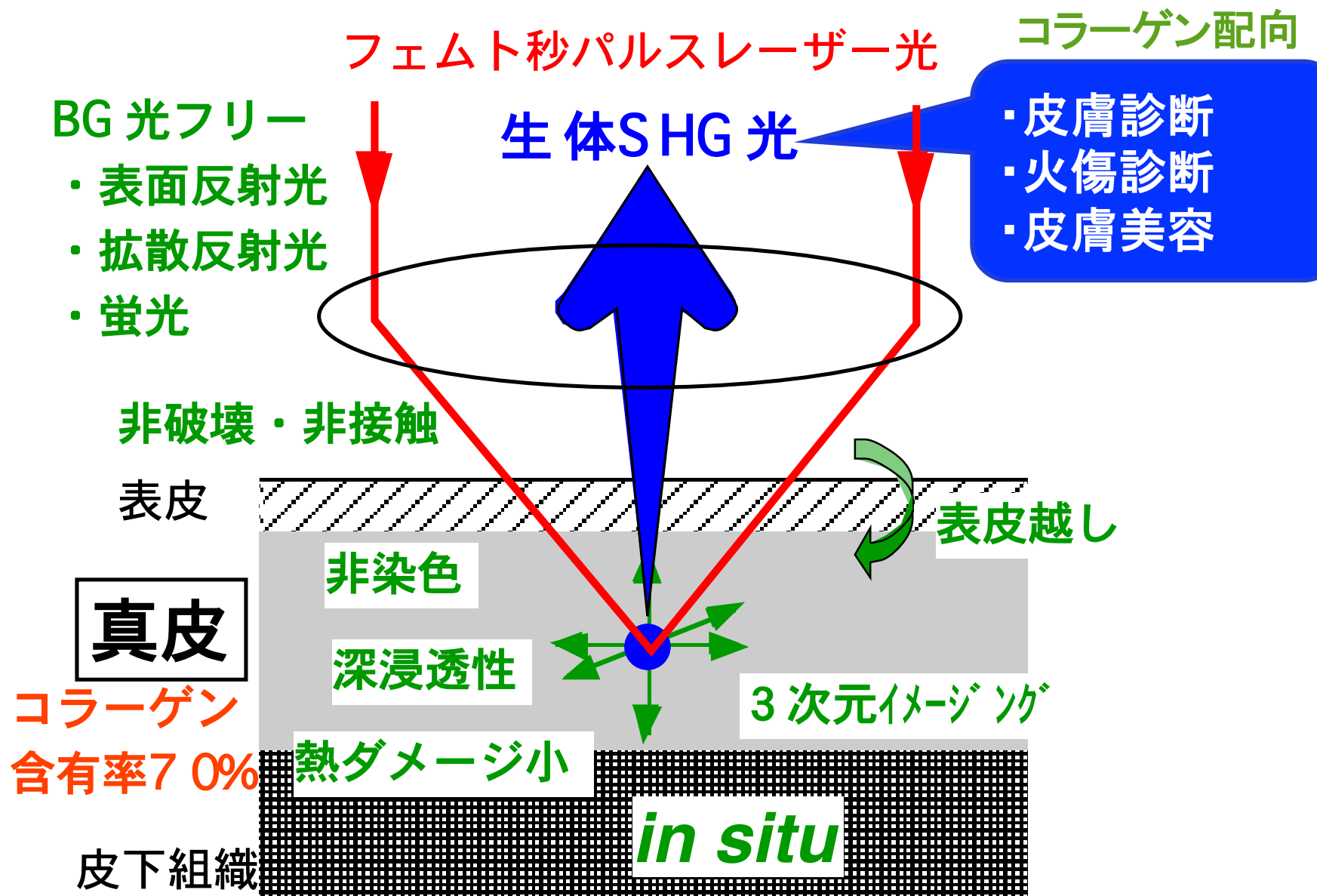
網状真皮

面内イメージの深さ分解測定@ヒト距骨

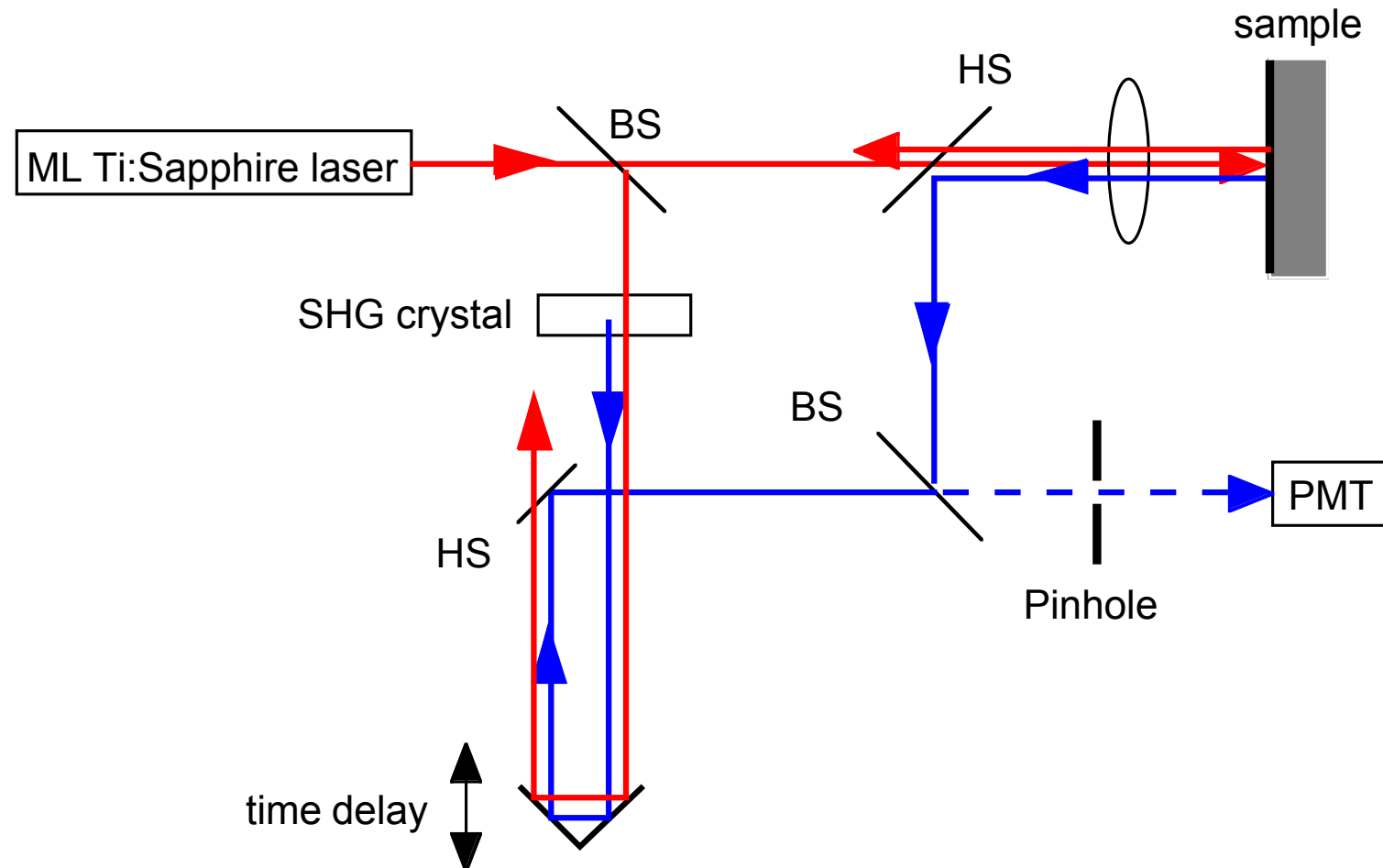


コラーゲン配向の 3 次元分布

生体SHG光を用いた皮膚真皮計測



SHGコヒーレンストモグラフィー



コヒーレントなSHG過程
低コヒーレンス干渉
ヘテロダイン検出



微弱SHG光増強、多重散乱光除去
断層測定

まとめ

- ・生体SHG光の偏光解析を用いた
コラーゲン配向測定
- ・コラーゲン配向の3次元分布測定
@SHG偏光分解イメージング